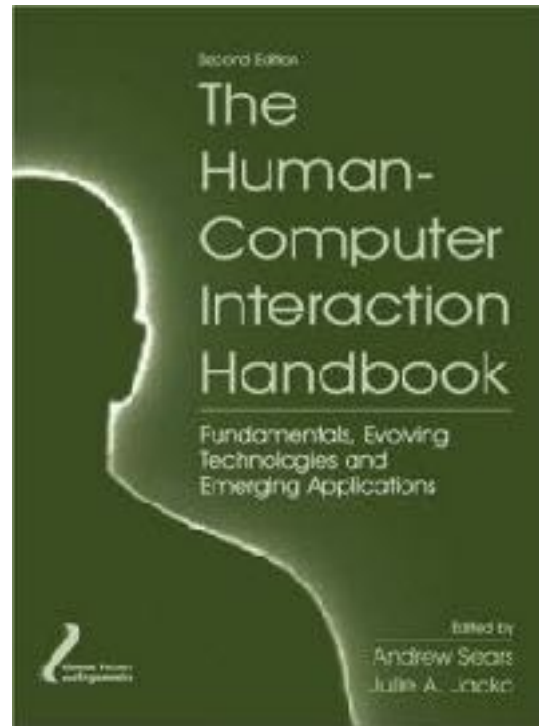




Input

Master IVI
T. Pietrzak



<http://research.microsoft.com/en-us/um/people/bibuxton/buxtoncollection/>
<http://www.billbuxton.com/inputManuscript.html>

TAXONOMIES

| | | Number of Dimensions | | | | | | | |
|-----------------|----------|-----------------------|-------------|---------------|---------------------------------|------------------------------|------------------------------|------------------------------|---|
| | | 1 | | 2 | | 3 | | | |
| Property Sensed | Position | Rotary Pot | Sliding Pot | Tablet & Puck | Tablet & Stylus Touch Tablet | Light Pen Touch Screen | Isometric Joystick | 3D Joystick | T |
| | Motion | Continuous Rotary Pot | Treadmill | Mouse | | | Spring Joystick Trackball | 3D Trackball | H |
| | | | | Reminset | | | | WY Pad | |
| Pressure | | Torque Sensor | | | | | symetric Joystick | | T |
| | | rotary | linear | puck | stylus finger horiz. | stylus finger vertical | small fixed location | small fixed with twist | |

Bill Buxton, 1983

Lexical and Pragmatic Considerations of Input Structures

Computer Graphics, 17 (1), 31-37.

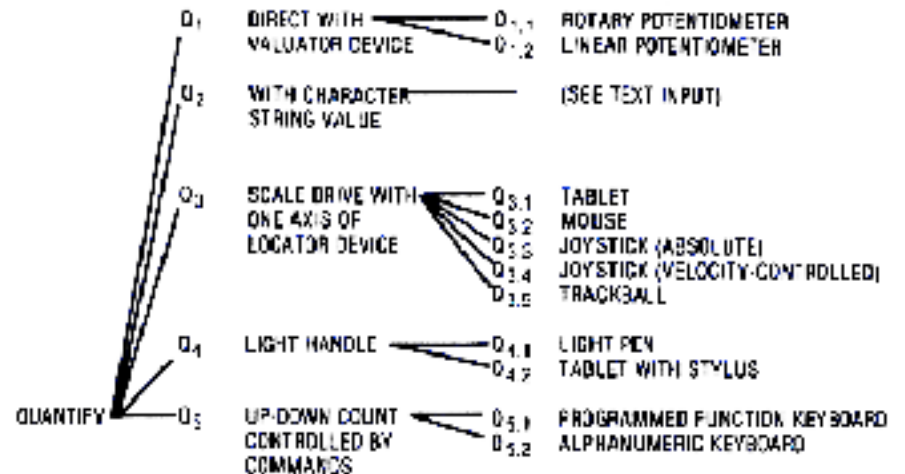
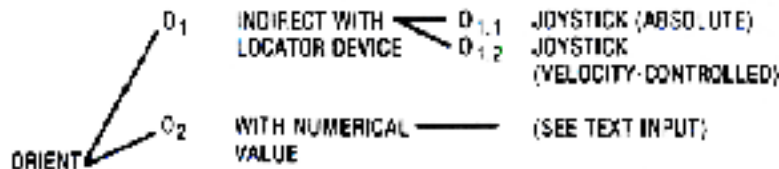
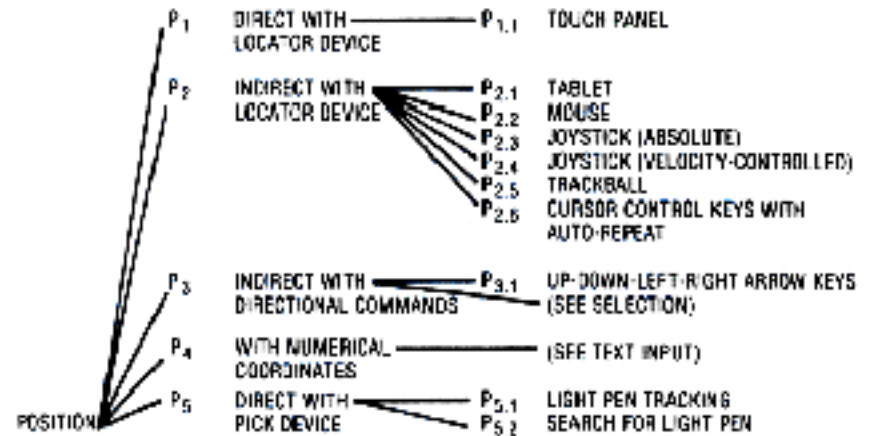
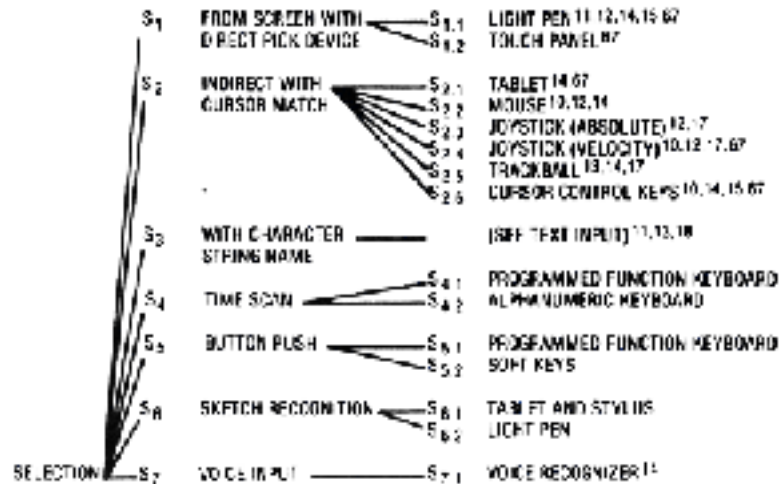
Tâches élémentaires :

- **Select** : pointer un objet (menu, bouton, etc.)
- **Position** : placer un objet sur 1, 2, 3 ou plus de dimensions
- **Orient** : orienter un objet sur 1, 2, 3 ou plus de dimensions
- **Path** : dessiner une ligne, courbe, etc.
- **Quantify** : saisir une valeur scalaire
- **Text** : saisir du texte

James D. Foley , Victor L. Wallace , Peggy Chan, 1984

The human factors of computer graphics interaction techniques

IEEE Computer Graphics and Applications, 4(11), 13-48

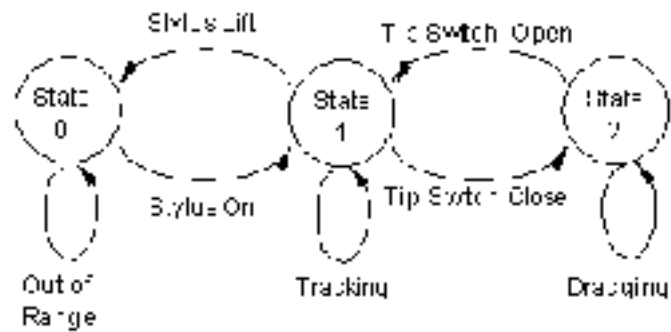
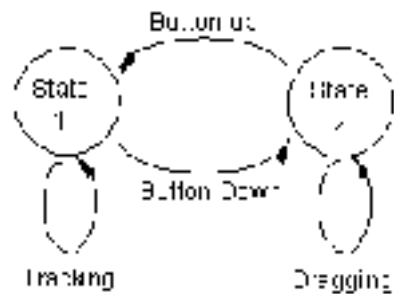


| | Linear | | | | Rotary | | | | |
|----|------------------|--------------|----------------|------------------------------|------------------------|--------------|------------------------------|----|--|
| | X | Y | Z | | rX | rY | rZ | | |
| P | Tablet ○ | ○ | Keys # ○ | Linear Potentiometer ○ | Absolute Joystick ○ | ○ | Rotary Potentiometer ○ | R | |
| dP | Light Pen ○ | ○ | ○ | | | | | | |
| | Touch Panel ○ | ○ | ③ | | | | | | |
| | Mouse ○ | ○ | | | Trackball ○ | ○ | | dR | |
| | | | | | Velocity Joystick ○ | ○ | | | |
| F | | | | | | | | T | |
| dF | | | | | | | | dT | |
| | 1 10 100 Inf | 1 10 100 Inf | 1 10 100 Inf | | 1 10 100 Inf | 1 10 100 Inf | 1 10 100 Inf | | |

Jock D. Mackinley, Stuart K. Card, George G. Robertson , 1990
A Semantic Analysis of the Design Space of Input Devices
Journal of Human-Computer Interaction, 5 (2), 145-190.

| | | Translation | | | Rotation | | |
|--------------|---------|-------------|----|----|----------|----|----|
| | | Tx | Ty | Tz | Rx | Ry | Rz |
| Sticky Tools | 1d | ○ | ○ | | | | |
| | 2d | ○ | ○ | ○ | | | ○ |
| | 1d + 1i | ○ | ○ | | i | i | |
| | 2d + 1i | ○ | ○ | ○ | i | i | ○ |

Anthony Martinet, Géry Casiez, Laurent Grisoni, 2010
 The Effect of DOF Separation in 3D Manipulation Tasks with Multi-touch Displays
 VRST'10, 111-118



Bill Buxton, 1990
 A Three-State Model of Graphical Input
 INTERACT '90, 449-456.

SAISIE DE TEXTE





Chorded, 1968



Datahand, 1990



Maltron, 1994



Orbitouch, 2002



Optimus, 2007



Technologie

Saisie de phrases

Fréquence des lettres

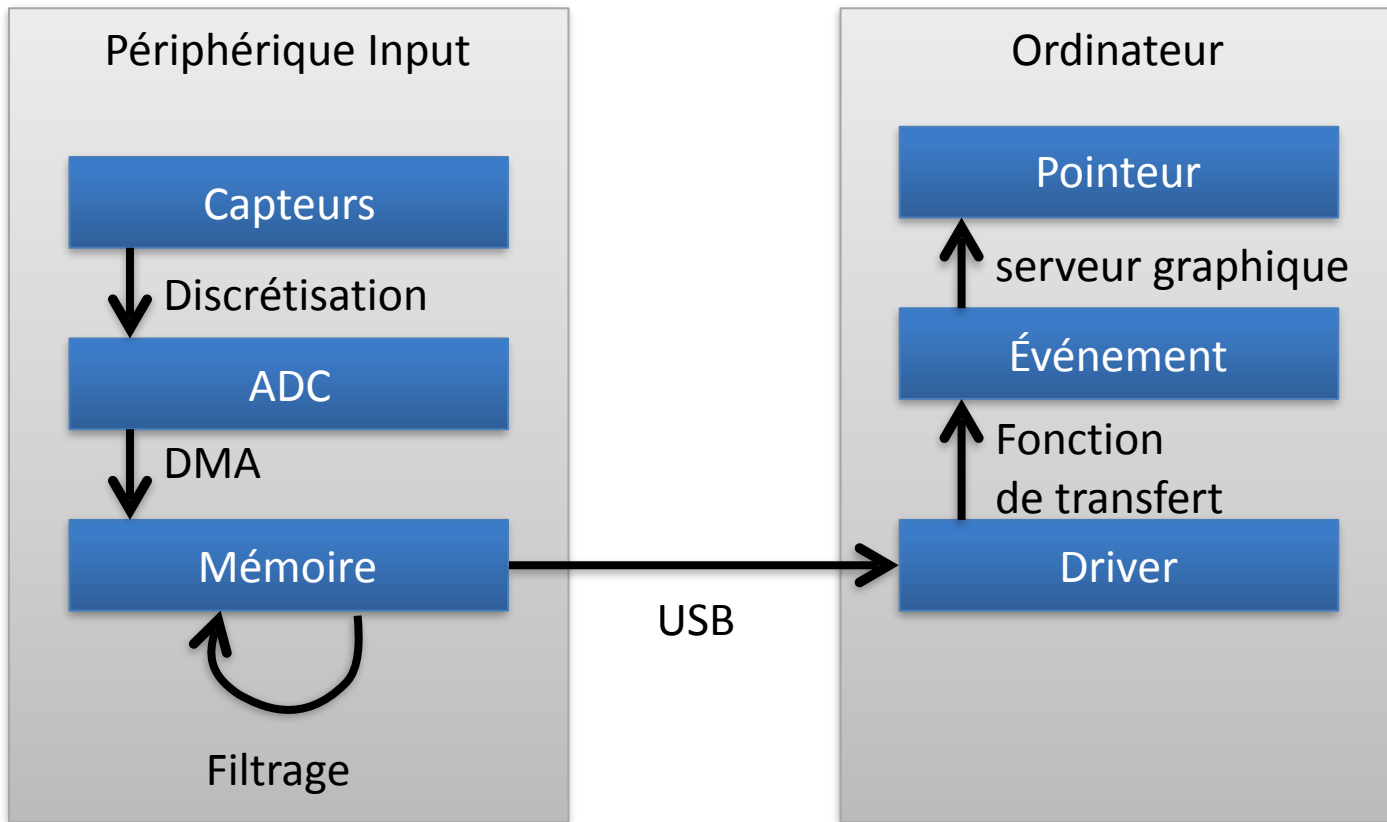
Avec/sans correction

Avec ou sans regard

WPM : words per minute

KSPC : key strokes per character

POINTAGE







Logitech
Inventive. Smart. For you.

Model: G400
Part No: 910-001234
SN: 1234567890
Made in China

HYUNDAI

This device complies with Council Directive 89/332/EEC

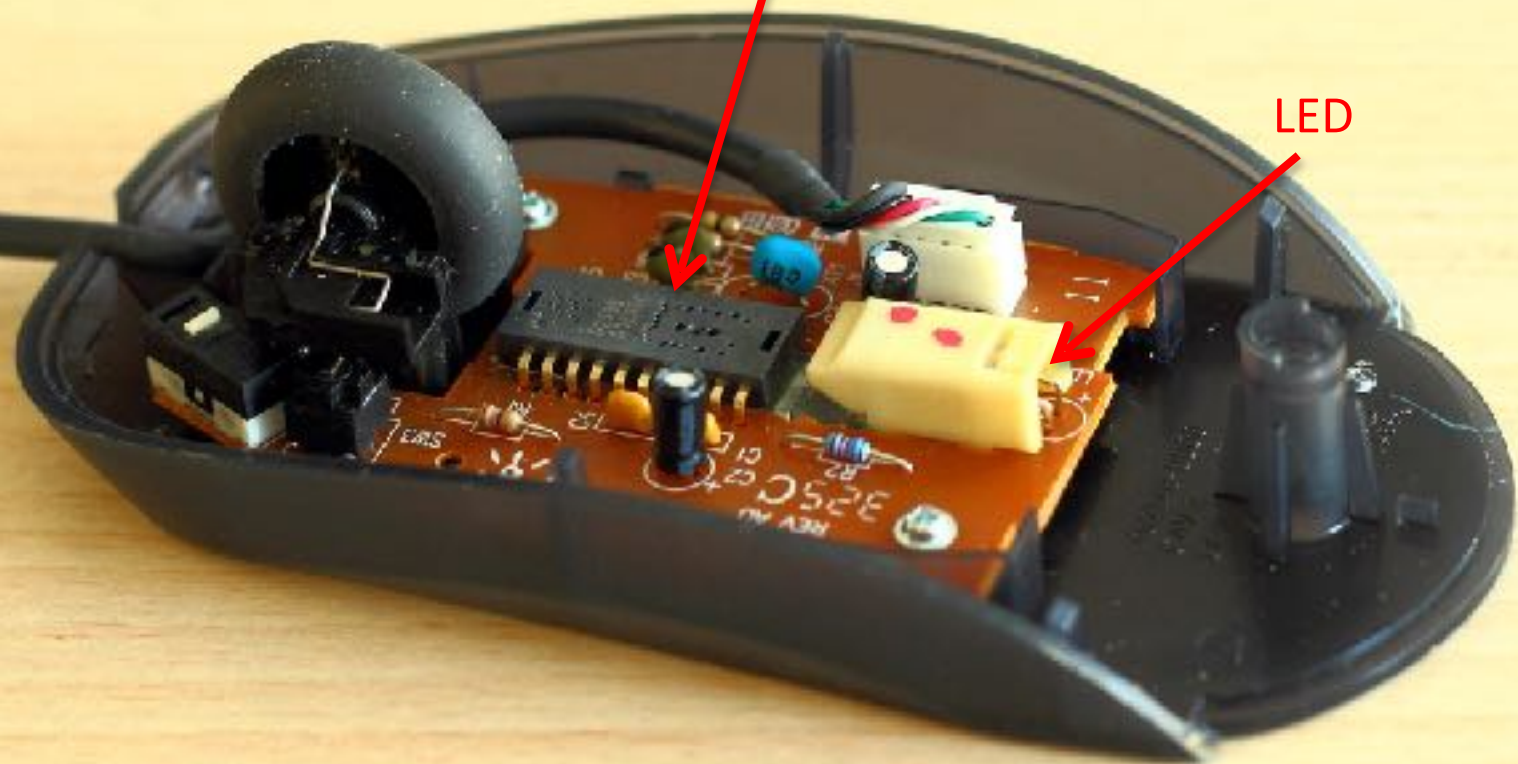
CE FCC 0

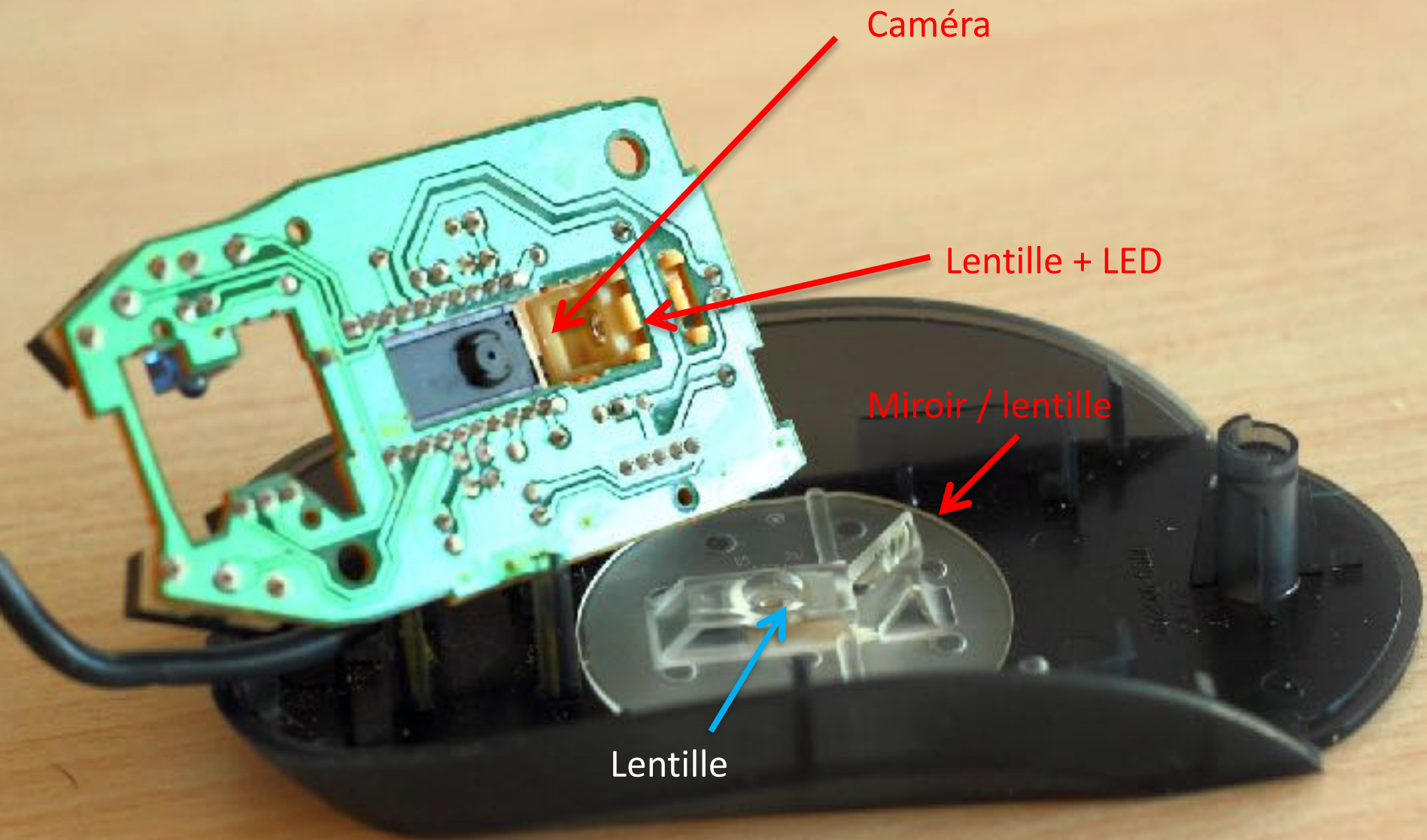




Caméra

LED



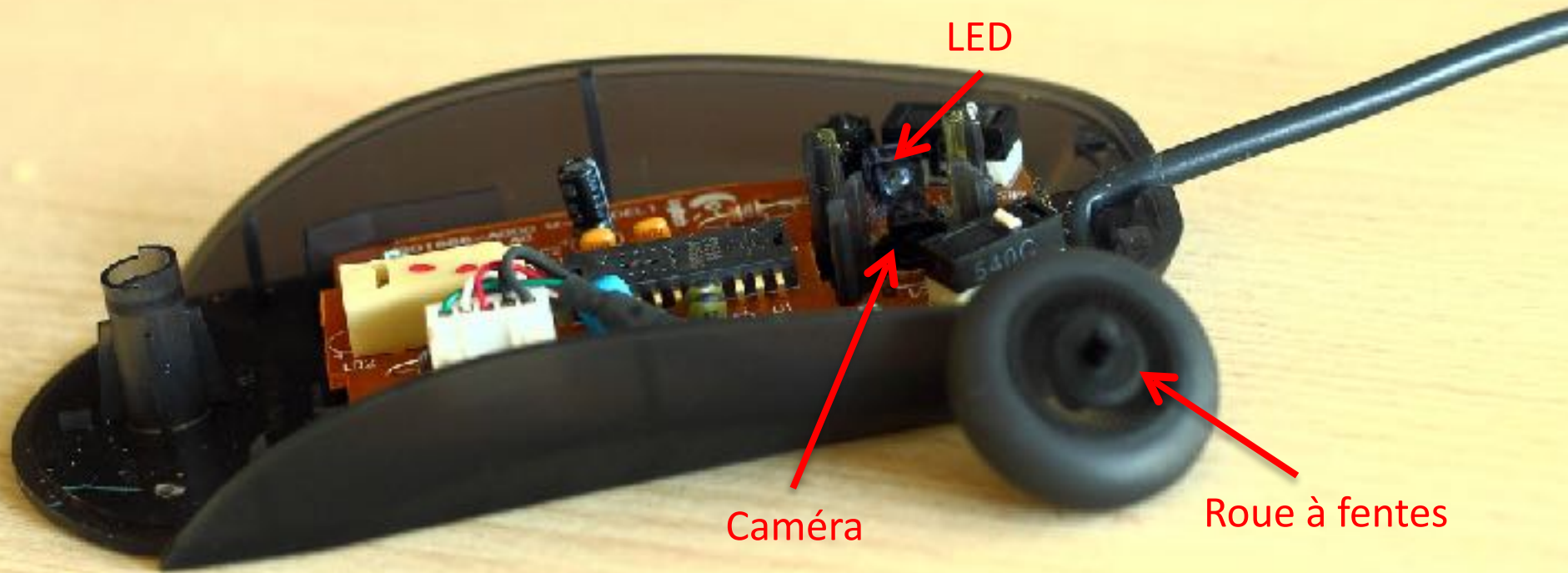


Caméra

Lentille + LED

Miroir / lentille

Lentille



LED

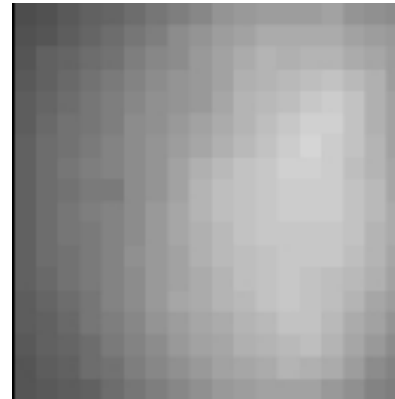
Caméra

Roue à fentes

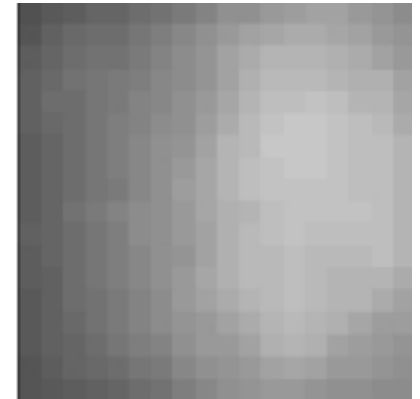
3000 images/s

$\approx 20 \times 20$ pixels

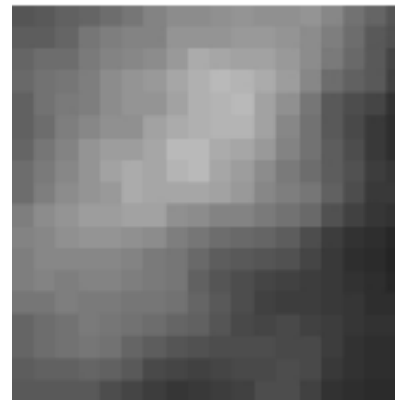
Traitement d'images



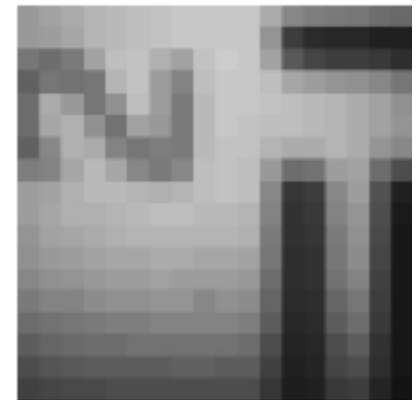
(a) White Paper



(b) Mailbox Folder



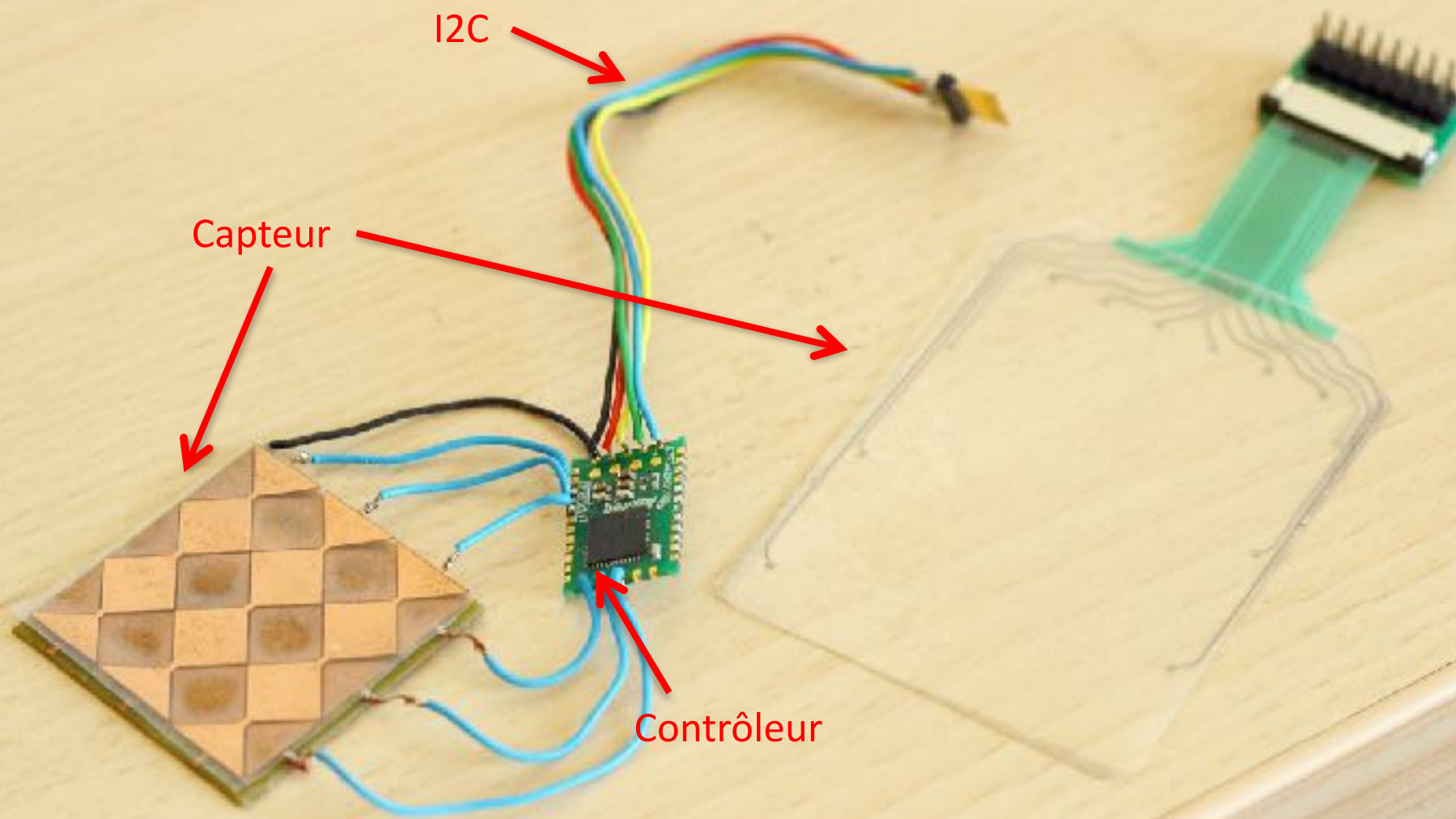
(c) Barbed Wire



(d) SMI Test Chart



Touchpad



I2C

Capteur

Contrôleur

Mesure de capacité

Lignes × Colonnes

2 couches

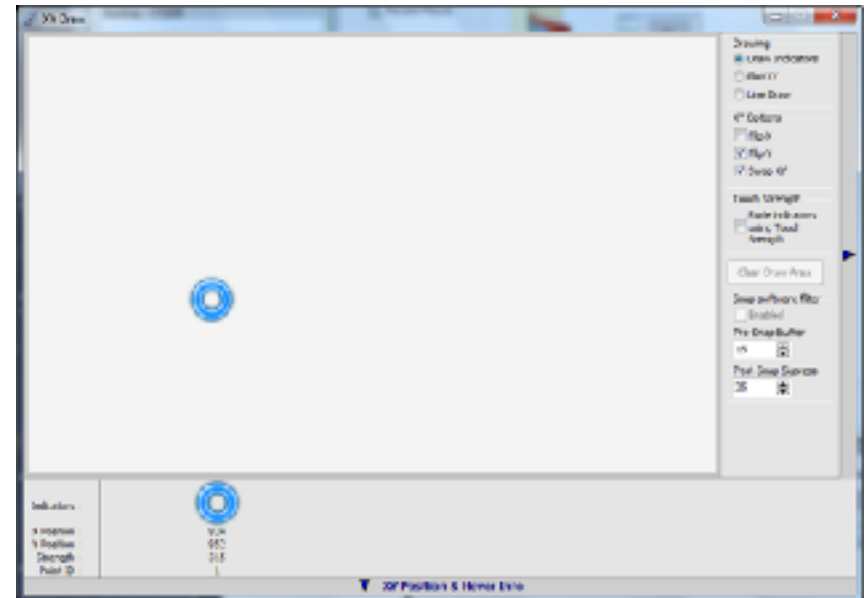
Maximiser la surface



Mesure à chaque intersection



Calcul des centroïdes



Modèle du temps de pointage

D : distance

W : taille de cible

$$MT = a + b \times \log_2 \left(\frac{2D}{W} \right)$$



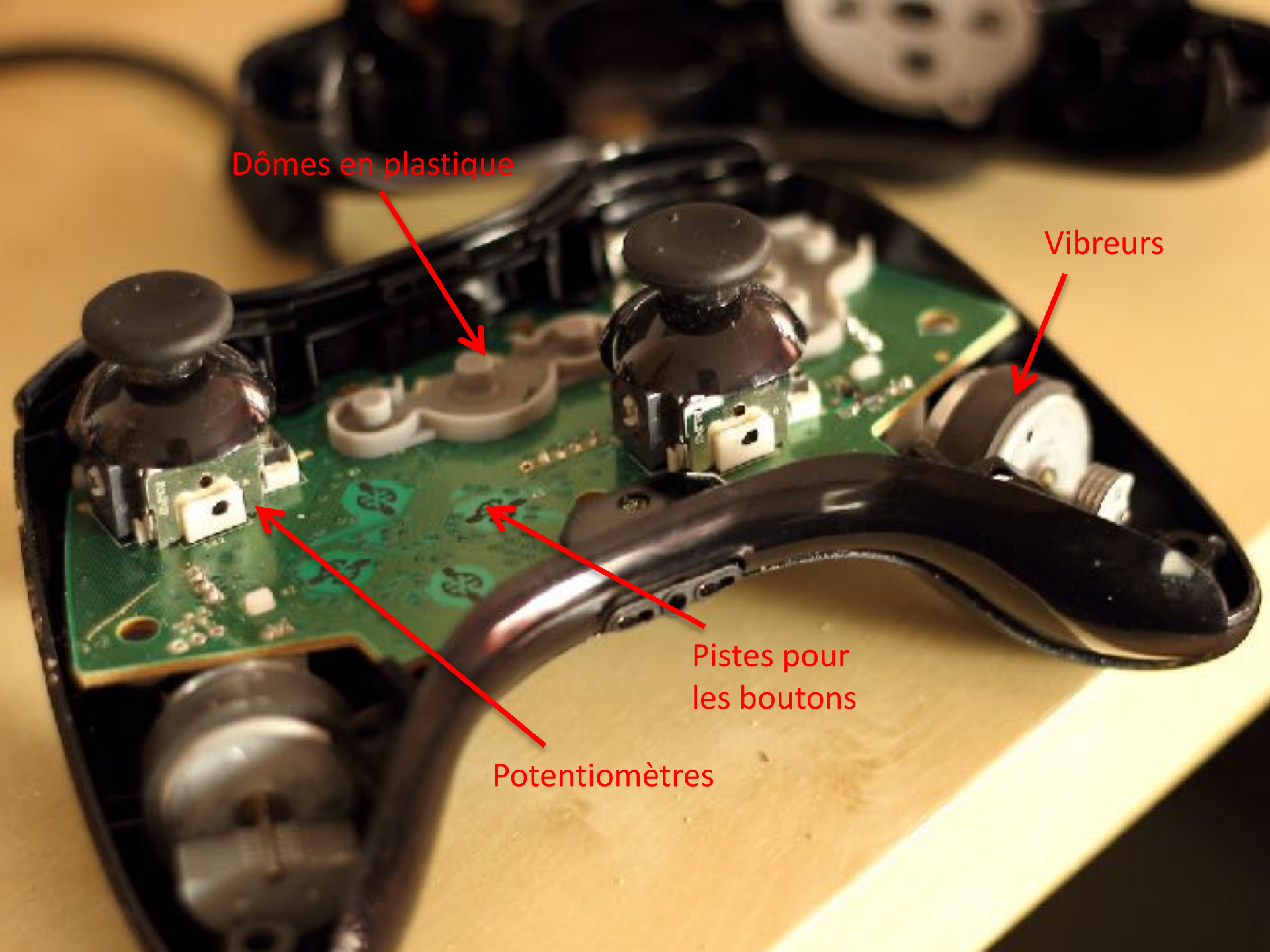
Joypad

Dômes en plastique

Vibreurs

Pistes pour
les boutons

Potentiomètres



FILTRAGE



- Problème : données bruitées
- Solution : filtre
- Compromis
 - Bruit : mouvement quand le périphérique est immobile
 - Latence : décalage entre le mouvement du périphérique et du curseur



- Problème : données bruitées
- Solution : filtre
- Compromis
 - Bruit : mouvement quand le périphérique est immobile
 - Latence : décalage entre le mouvement du périphérique et du curseur

Moyenne sur les x dernières valeurs

Lissage des points \Rightarrow gomme les mouvements brusques

+ Facile à implémenter

- Latence importante

+^c



Moving
average

Input

Signal

Noisy signal

SNR (dB):

Filters

Moving average (s)

Window size:

Single exponential (d)

Alpha:

Double exponential (f)

Alpha:

Kalman filter (g)

Process error covariance:

Measurement error covariance:

IIR Filter (h)

gamma:

beta:

Cutoff for derivative:

Moyenne glissante

+^c



Moving
average

Input

Signal

Noisy signal

SNR (dB):

Filters

Moving average (s)

Window size:

Single exponential (d)

Alpha:

Double exponential (f)

Alpha:

Kalman filter (g)

Process error covariance:

Measurement error covariance:

IIR Filter (h)

gamma:

beta:

Cutoff for derivative:

Moyenne glissante

Moyenne glissante dont le poids des valeurs décroît

Simple exponentiel

Double exponentiel

+ Facile à implémenter

- Latence importante

$$\hat{X}_i = \alpha X_i + (1 - \alpha) \hat{X}_{i-1}$$

$$\hat{X}_i^{[2]} = \alpha \hat{X}_i + (1 - \alpha) \hat{X}_{i-1}^{[2]}$$

$$P_{t+\tau} = \left(2 + \frac{\alpha\tau}{1 - \alpha}\right) \hat{X}_i - \left(1 + \frac{\alpha\tau}{1 - \alpha}\right) \hat{X}_i^{[2]}$$



Input

Signal

Noisy signal

SNR (dB):

Filters

Moving average (a)

Window size:

Single exponential (d)

Alpha:

Double exponential (f)

Alpha:

Kalman filter (g)

Process error covariance:

Measurement error covariance:

1E Filter (h)

Form:

beta:

Cutoff for derivative:

Passé bas

~49300.000ms
Moley signal: 06.500



Input

Signal

Noisy signal

SNR (dB):

Filters

Moving average (a)

Window size:

Single exponential (d)

Alpha:

Double exponential (f)

Alpha:

Kalman filter (g)

Process error covariance:

Measurement error covariance:

1E Filter (h)

Form:

beta:

Cutoff for derivative:

Passé bas

~49300.000ms
Moley signal: 06.500

Prédit les nouvelles valeurs en fonction de leur évolution

- + Plus efficace que la moyenne glissante
- Compliqué à comprendre
- Compliqué à régler
- Compliqué à implémenter



Input

Signal

Noisy signal

SNR (dB):

Filters

Moving average (a)

Window size:

Single exponential (d)

Alpha:

Double exponential (f)

Alpha:

Kalman filter (g)

Process error covariance:

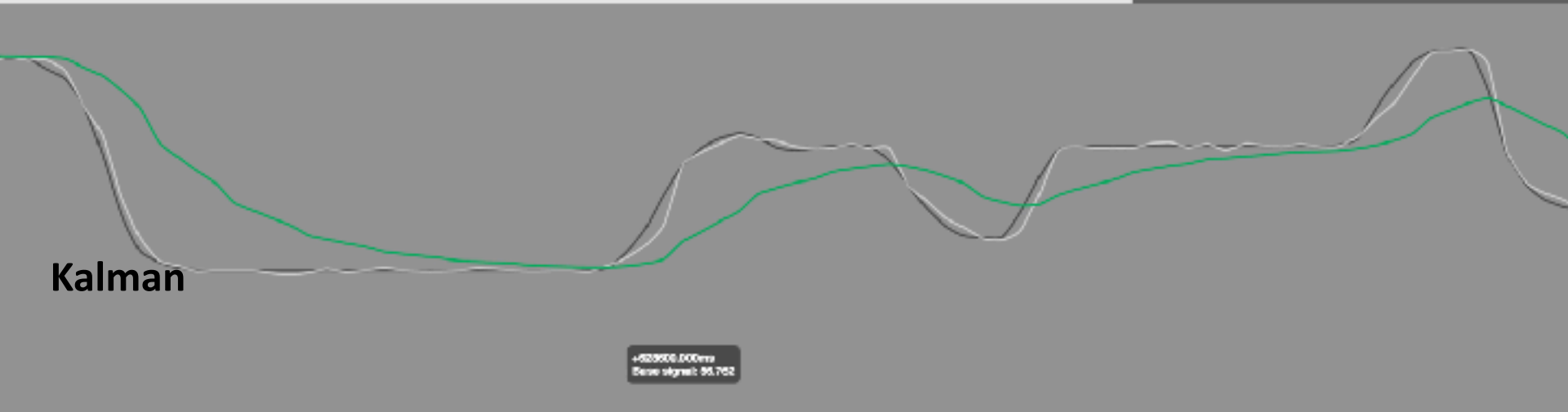
Measurement error covariance:

1E Filter (h)

form:

beta:

Cutoff for derivative:





Input

Signal

Noisy signal

SNR (dB):

Filters

Moving average (a)

Window size:

Single exponential (d)

Alpha:

Double exponential (f)

Alpha:

Kalman filter (g)

Process error covariance:

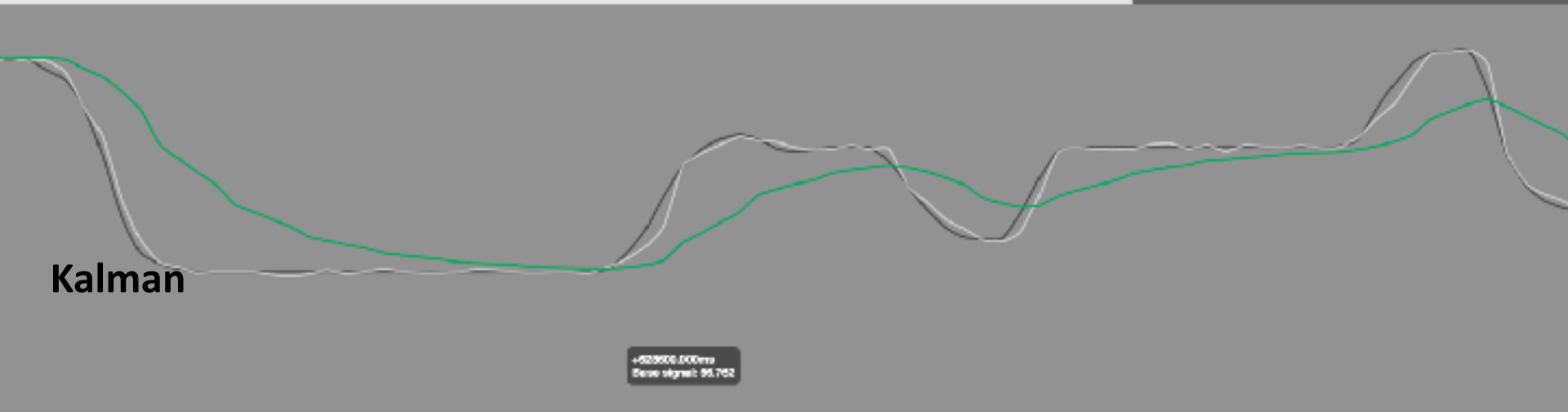
Measurement error covariance:

1E Filter (h)

tau_min:

tau_max:

Cutoff for derivative:



Filtre passe bas à fréquence de coupure variable

Filtre peu lorsque les mouvements sont rapides \Rightarrow peu de latence

Filtre beaucoup quand les mouvements sont lents \Rightarrow peu de bruit

- + Efficace
- + Facile à régler
- + Facile à implémenter

<http://www.lifl.fr/~casiez/1euro/>

APPENDIX A - 1€ FILTER

Algorithm 1: 1€ filter

EXT: First time flag: *firstTime* set to *true*
Data update rate: *rate*
Minimum cutoff frequency: *mincutoff*
Cutoff slope: *beta*
Low-pass filter: *xfilt*
Cutoff frequency for derivate: *dcutoff*
Low-pass filter for derivate: *dxfilt*
IN : Noisy sample value: *x*
OUT: Filtered sample value

```
1 if firstTime then
2   | firstTime ← false
3   | dx ← 0
4 else
5   | dx ← (x - xfilt.hatxprev()) * rate
6 end
7 edx ← dxfilt.filter(dx, alpha(rate, dcutoff))
8 cutoff ← mincutoff + beta * ledx
9 return xfilt.filter(x, alpha(rate, cutoff))
```

Algorithm 2: Filter method of Low-pass filter

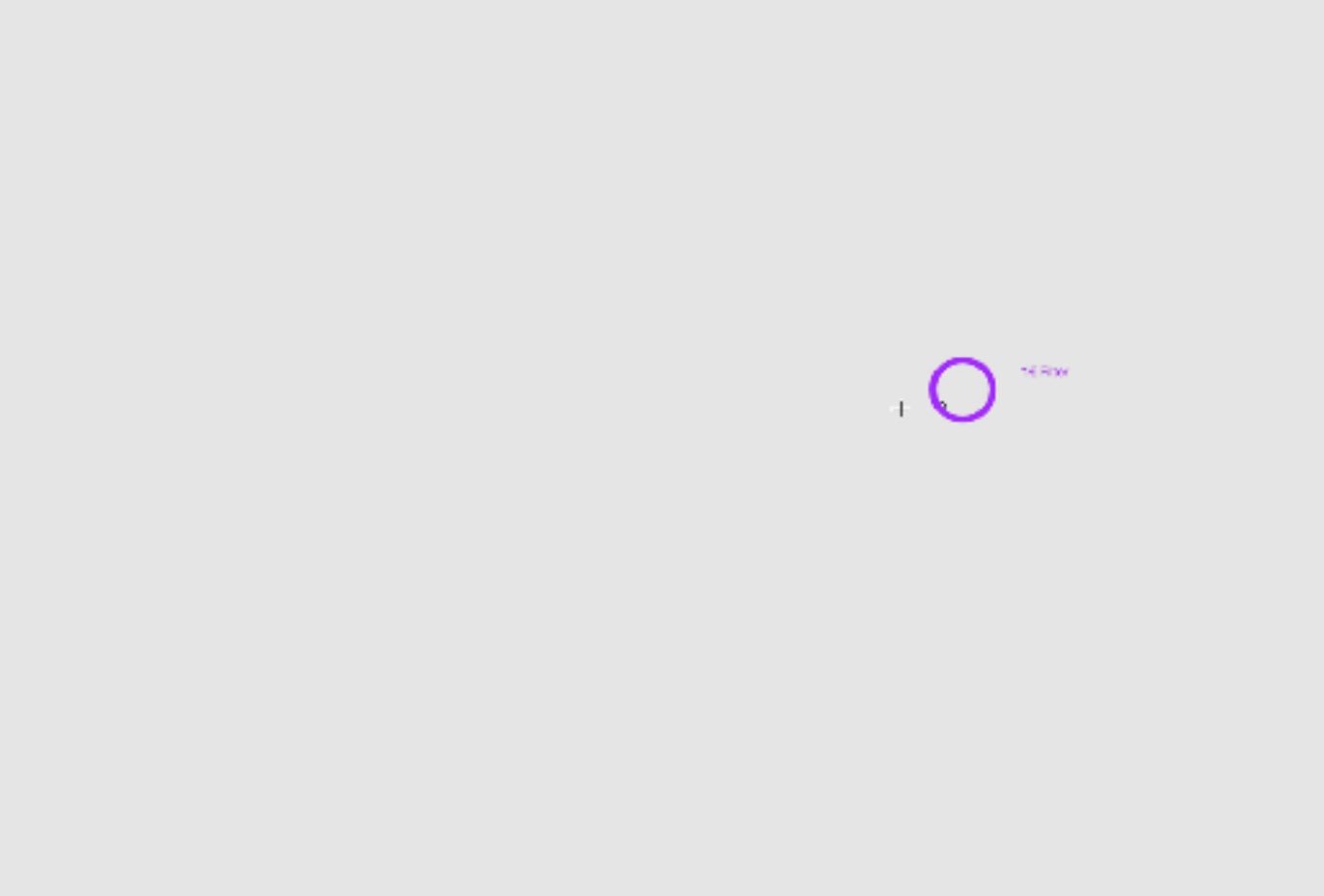
EXT: First time flag: *firstTime* set to *true*
IN : Noisy sample value : *x*
Alpha value : *alpha*
OUT: Filtered value

```
1 if firstTime then
2   | firstTime ← false
3   | hatxprev ← x
4 end
5 hatx ← alpha * x + (1 - alpha) * hatxprev
6 hatxprev ← hatx
7 return hatx
```

Algorithm 3: Alpha computation

IN : Data update rate in Hz: *rate*
Cutoff frequency in Hz: *cutoff*
OUT: Alpha value for low-pass filter

```
1 tau ← 1.0 / (2 *  $\pi$  * cutoff)
2 te ← 1.0 / rate
3 return 1.0 / (1.0 + tau/te)
```



Input

Signal

Noisy signal

SNR (dB):

Filters

Moving average (a)

Window size:

Single exponential (d)

Alpha:

Double exponential (f)

Alpha:

Kalman filter (g)

Process error covariance:

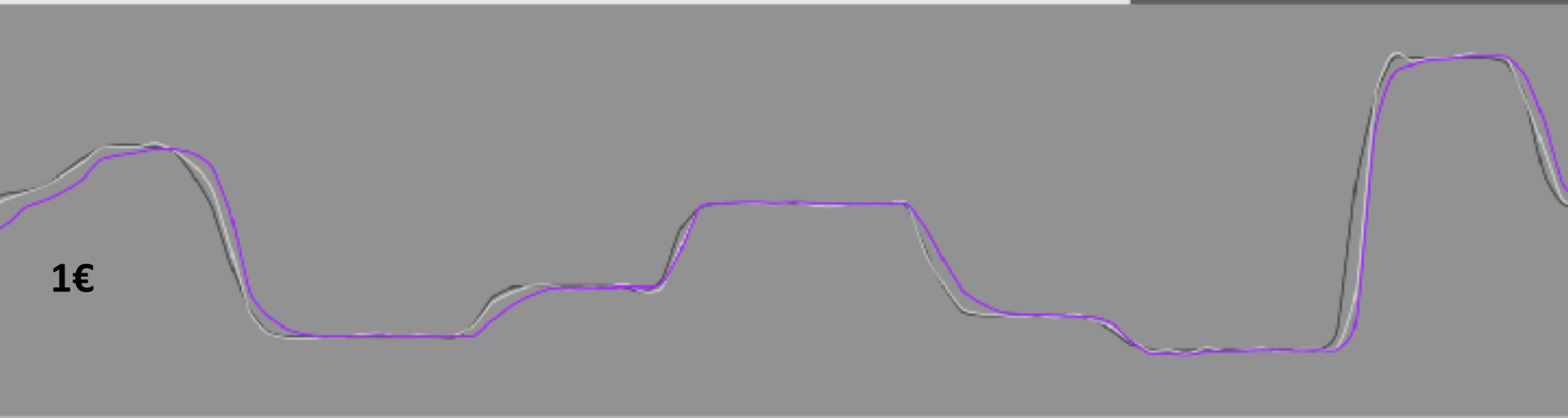
Measurement error covariance:

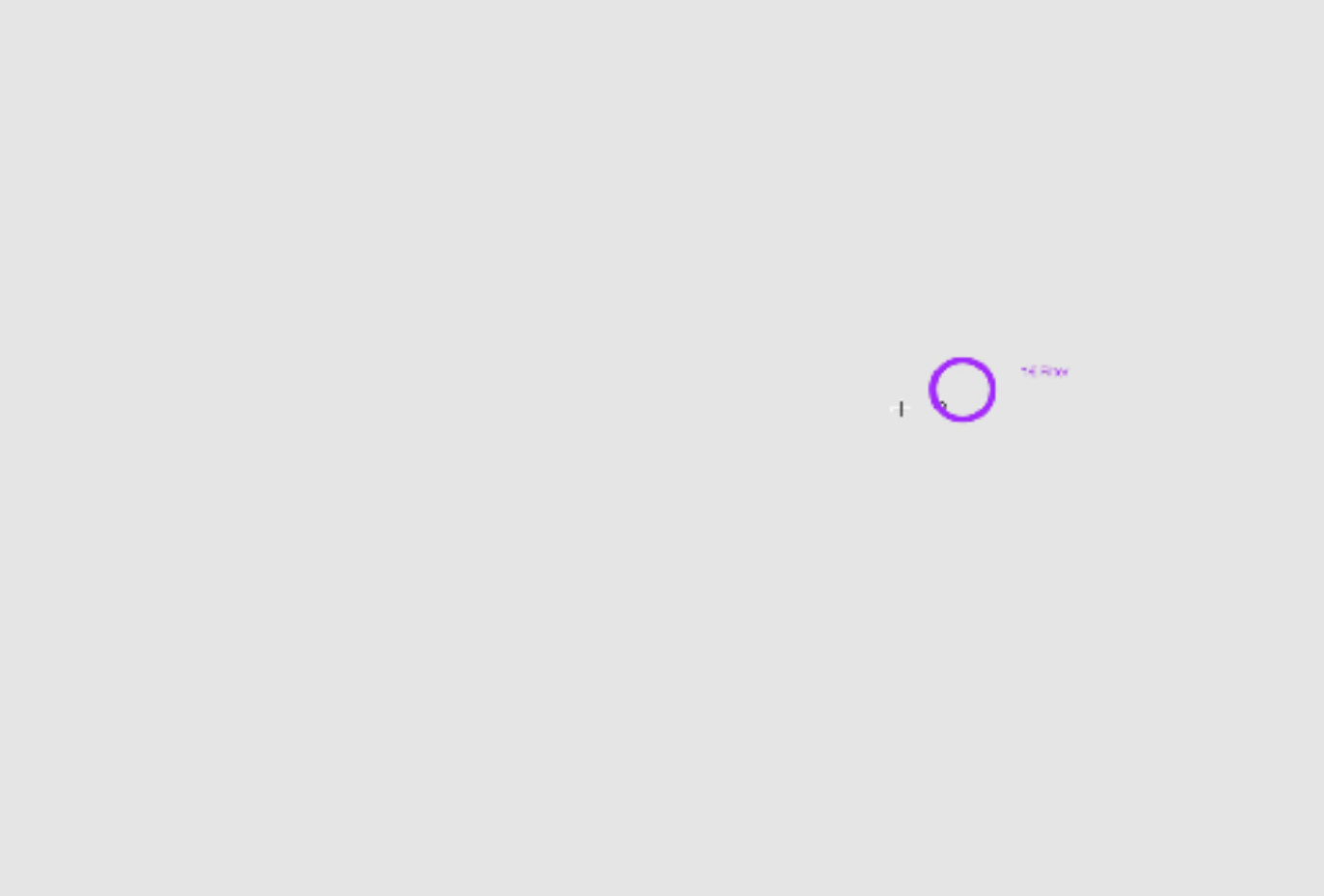
1€ Filter (h)

Gamma:

Beta:

Cutoff for derivative:





Input

Signal

Noisy signal

SNR (dB):

Filters

Moving average (a)

Window size:

Single exponential (d)

Alpha:

Double exponential (f)

Alpha:

Kalman filter (g)

Process error covariance:

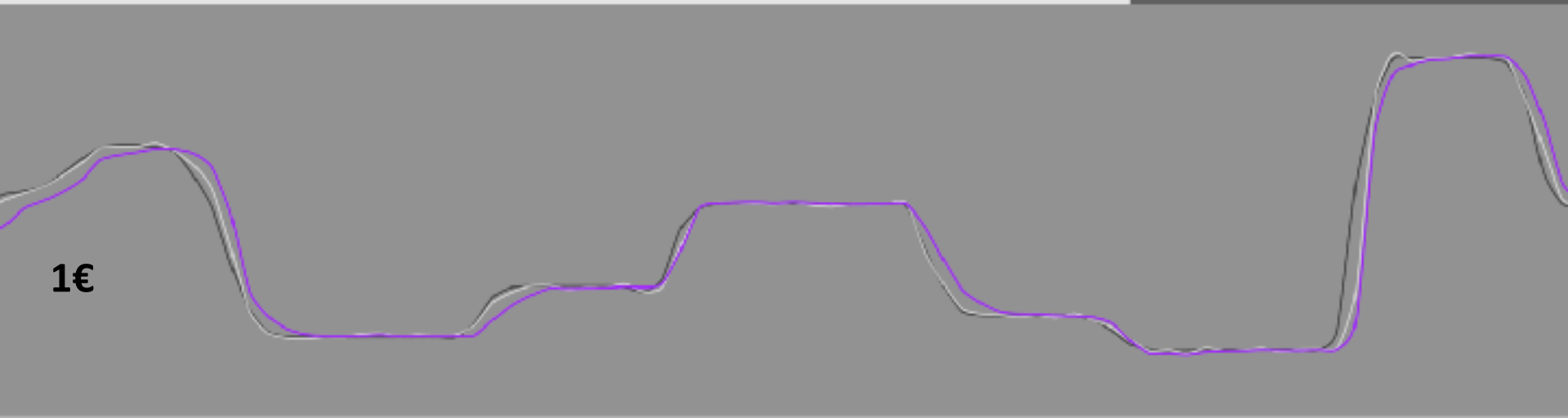
Measurement error covariance:

1€ Filter (h)

Gamma:

Beta:

Cutoff for derivative:





Input

Signal

Noisy signal

SNR (dB):

Filters

Moving average (a)

Window size:

Single exponential (d)

Alpha:

Double exponential (f)

Alpha:

Kalman Filter (g)

Process error covariance:

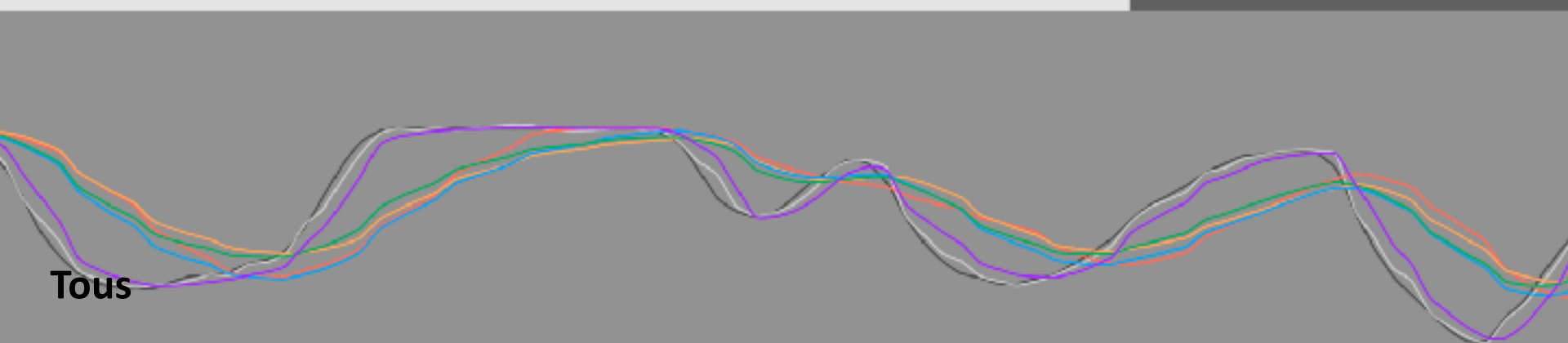
Measurement error covariance:

IIR Filter (h)

form:

beta:

Cutoff for derivative:





Input

Signal

Noisy signal

SNR (dB):

Filters

Moving average (a)

Window size:

Single exponential (d)

Alpha:

Double exponential (f)

Alpha:

Kalman Filter (g)

Process error covariance:

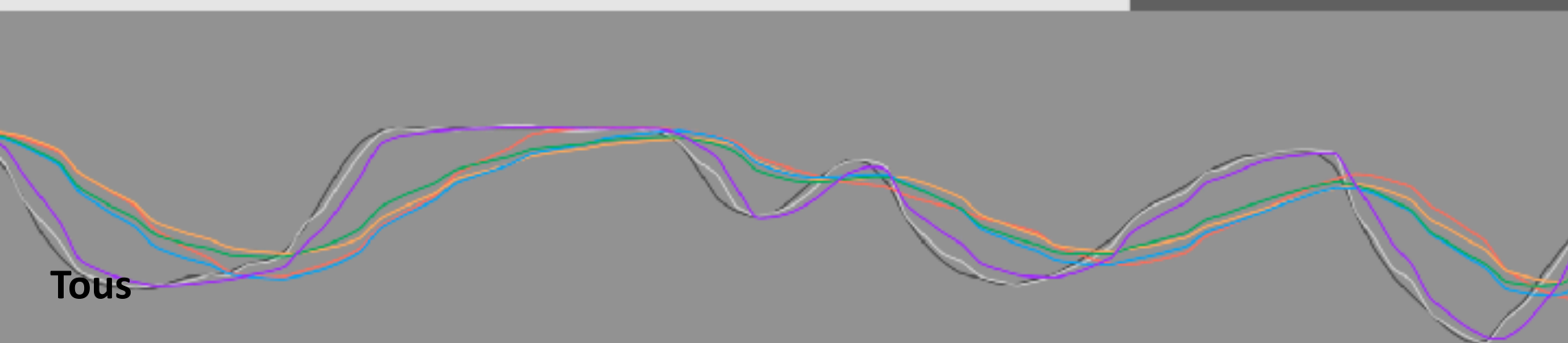
Measurement error covariance:

IIR Filter (h)

form:

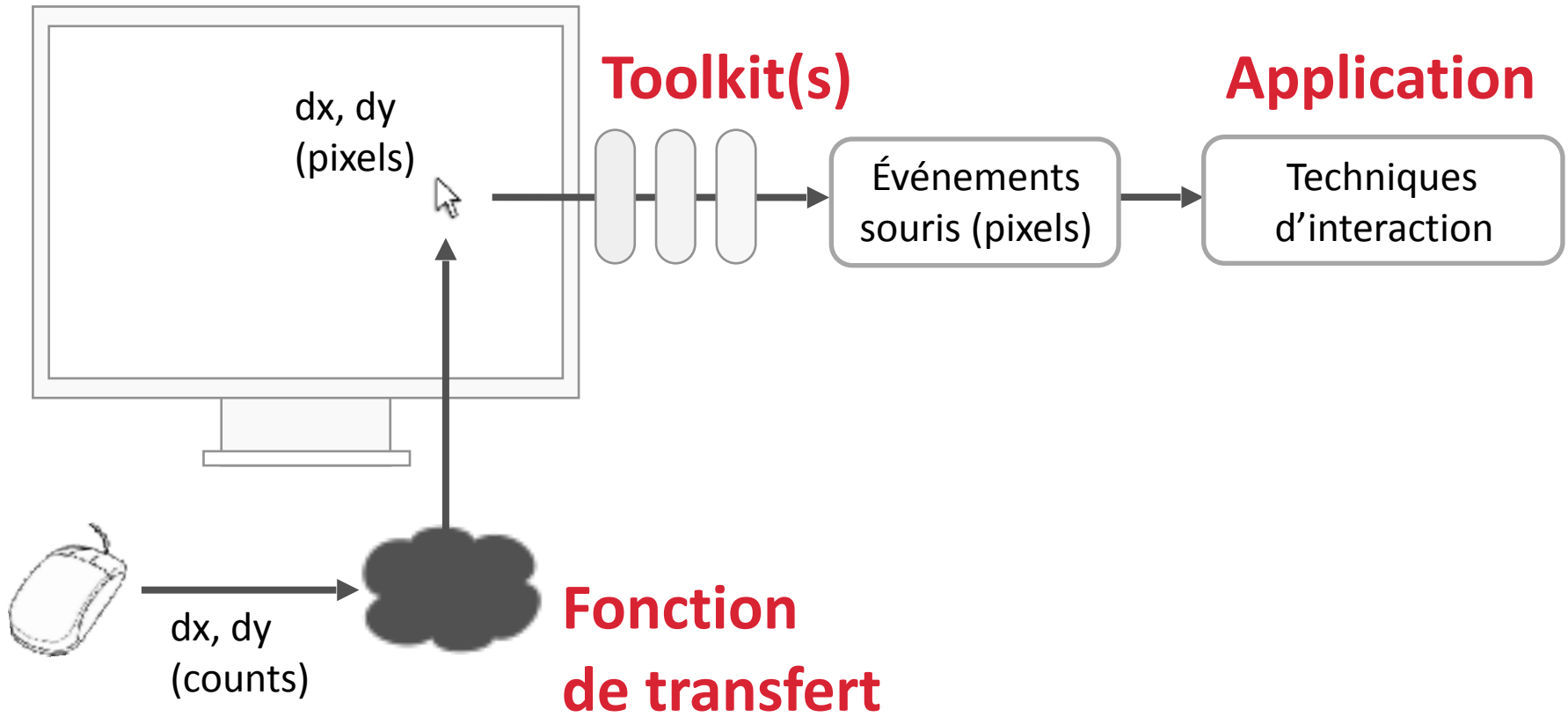
beta:

Cutoff for derivative:



Tous

FONCTIONS DE TRANSFERT



De combien se déplace le curseur ?

Contrôle en position

ex : souris

Contrôle en vitesse

ex : joystick

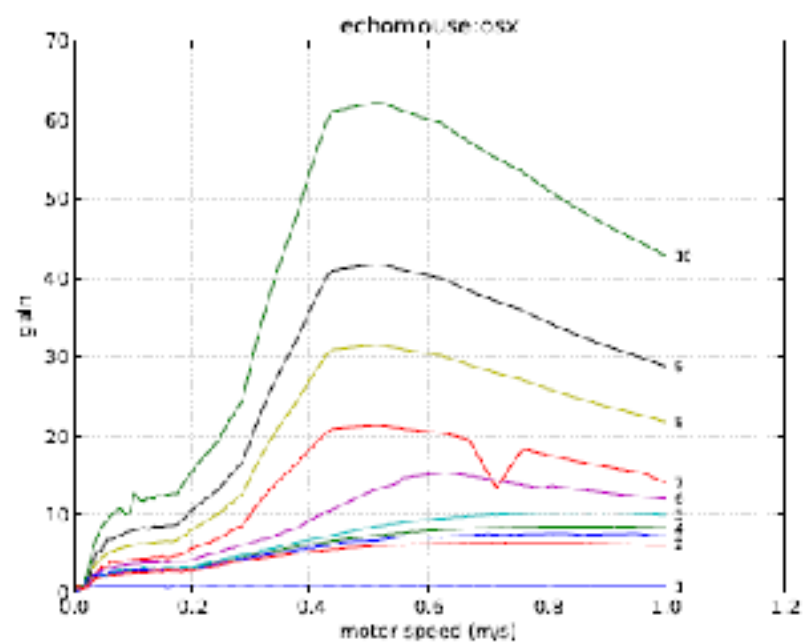
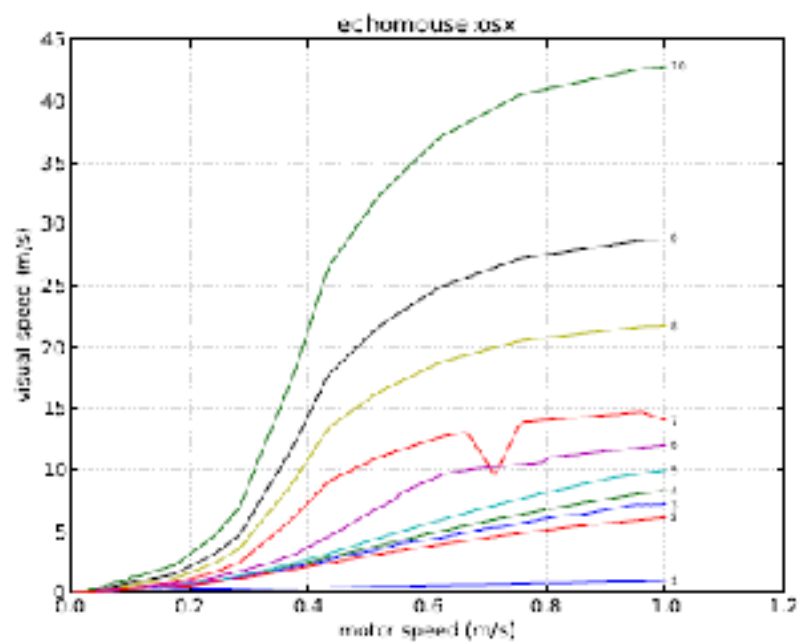
$$CD_{gain} = \frac{V_{pointeur}}{V_{périphérique}}$$

Fonction linéaire

Gain constant

Fonction non linéaire

Gain variable, par exemple en fonction de la vitesse



Phase balistique

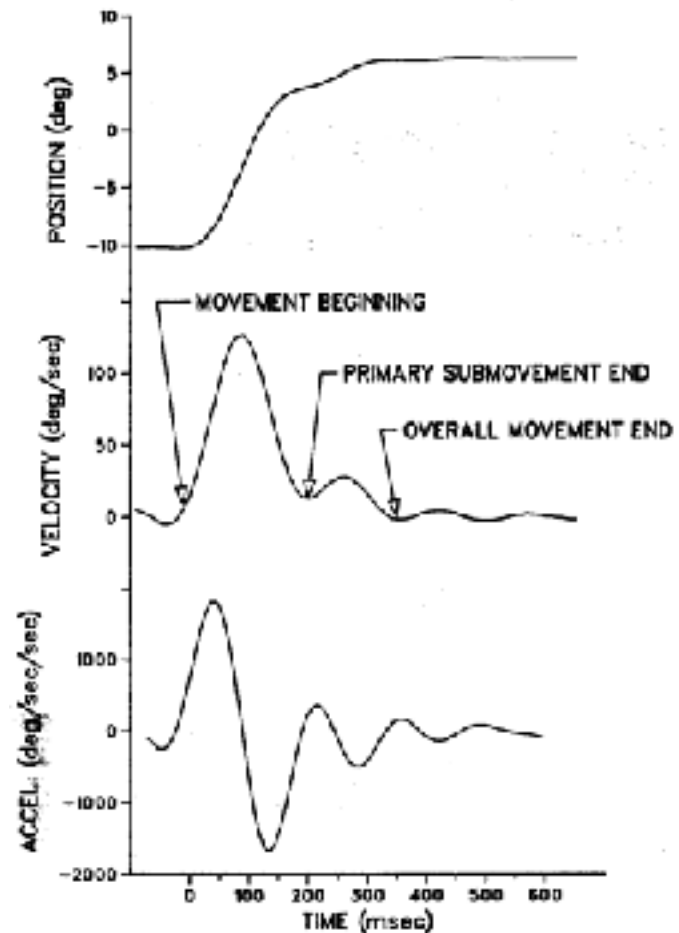
Rapide et imprécise

⇒ gain élevé

Phase corrective

Lente et précise

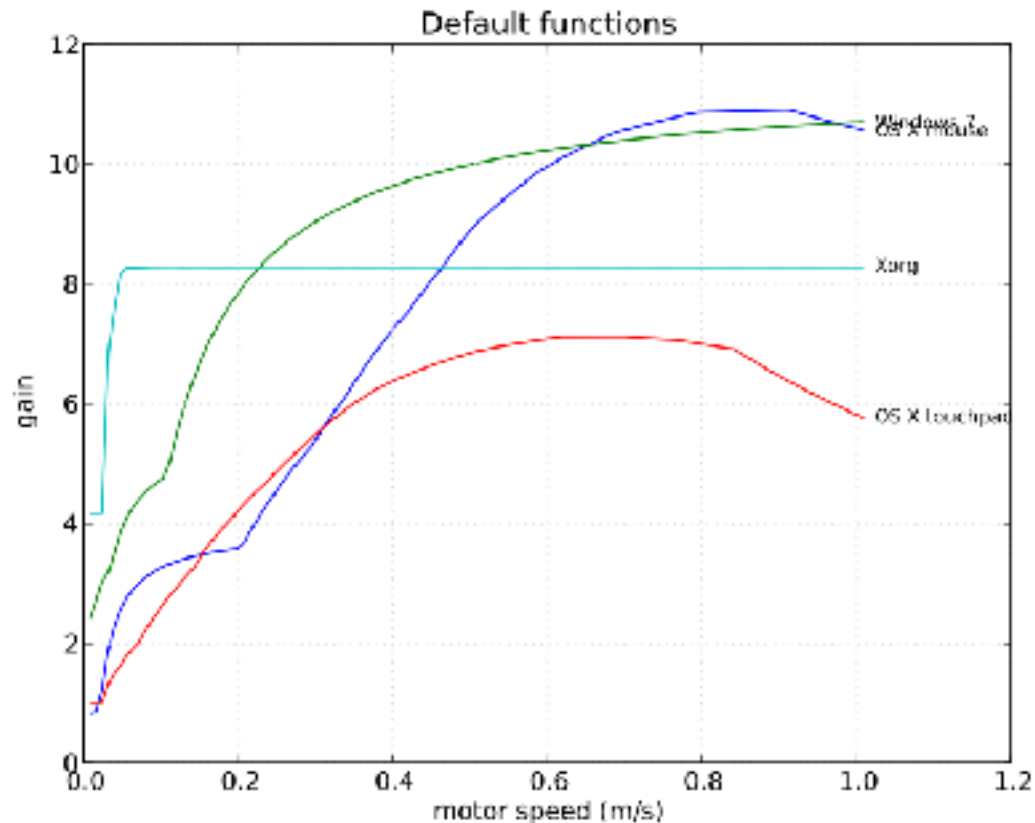
⇒ gain faible



David E. Meyer , et al., 1988

Optimality in human motor performance: ideal control of rapid aimed movements

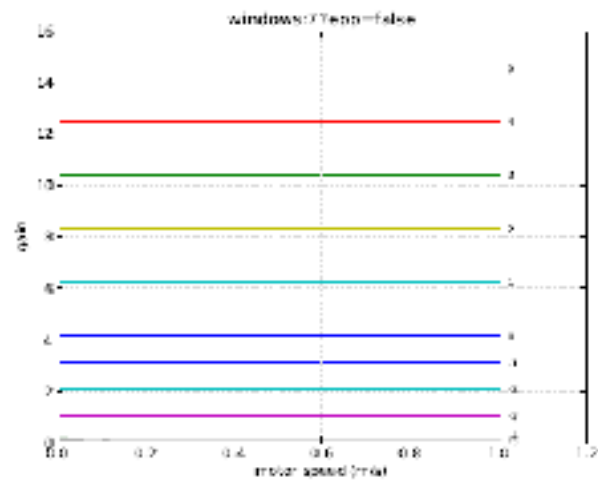
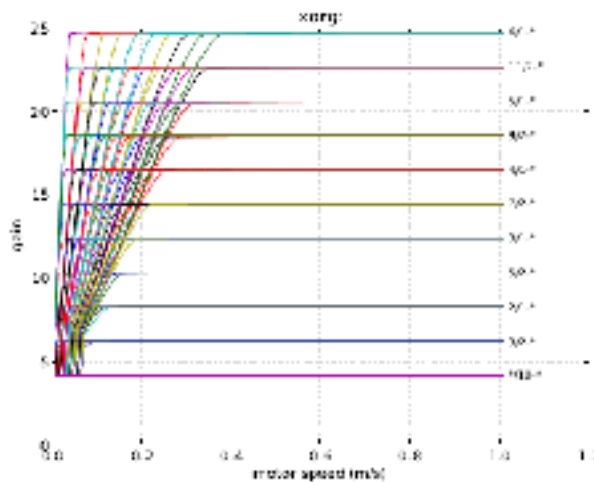
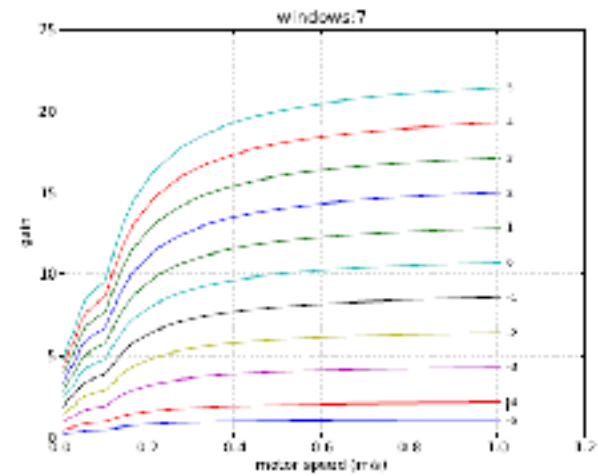
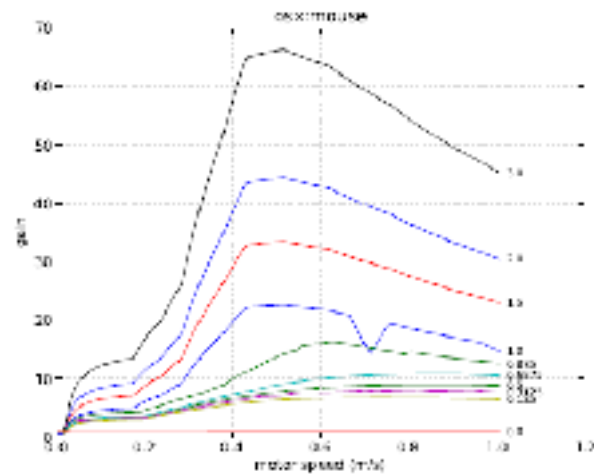
Psychological Review, 95, 340-370

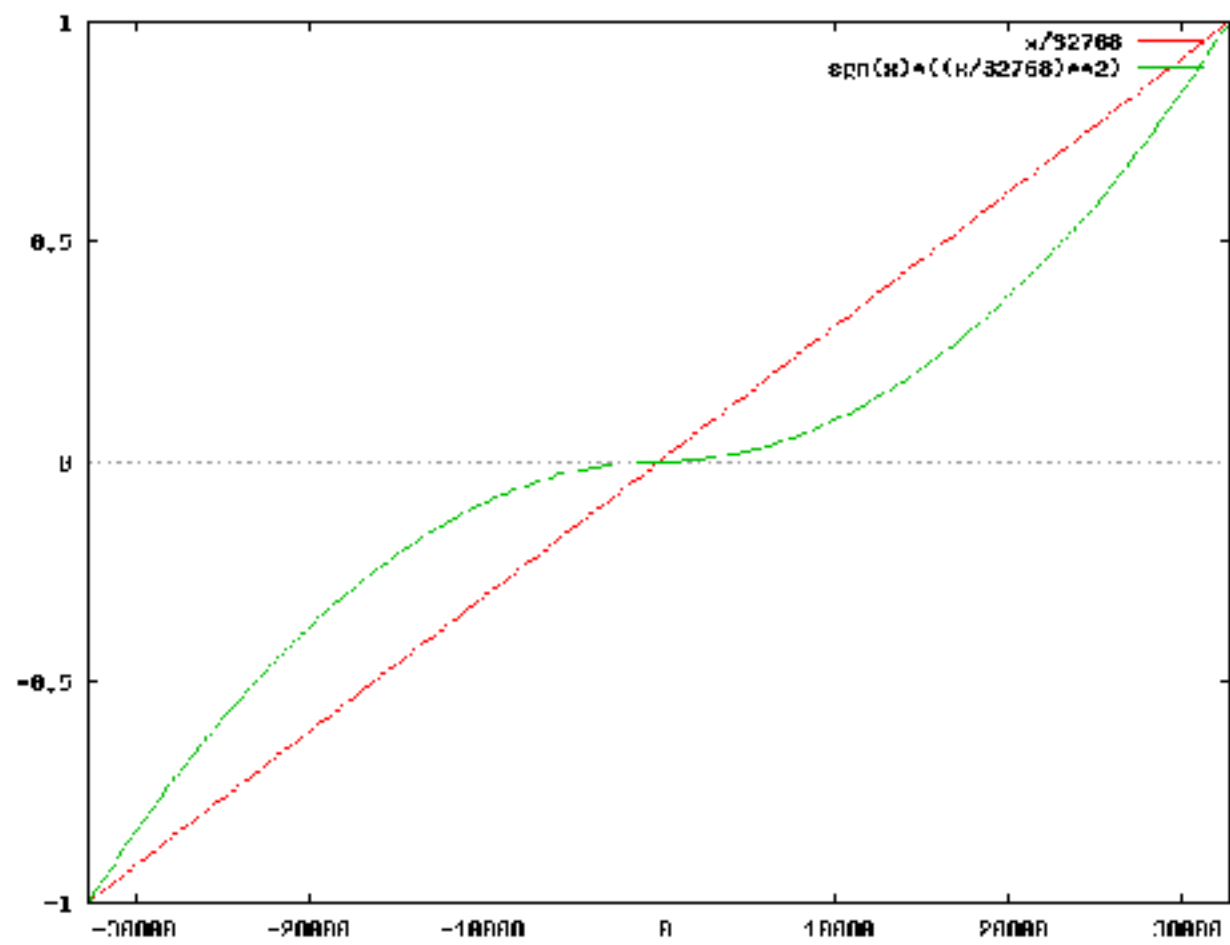


Géry Casiez and Nicolas Roussel, 2011

No more bricolage! Methods and tools to characterize, replicate and compare pointing transfer functions

UIST'11, 603-614





PROGRAMMATION

Interroger le périphérique en boucle

- + Simple
- Gaspille le CPU
- Gaspille de l'énergie
- Peu précis

```
int main()
{
    while (true)
    {
        input();
        update();
        draw();
    }
}
```

Réagir aux inputs

- + Précis
- + Consomme peu de CPU
- + Consomme peu d'énergie
- Compliqué

```
void onKeyDown (...)  
{  
    ...  
}
```

```
void onMouseMove (...)  
{  
    ...  
}
```

```
int main()  
{  
    while (true)  
    {  
        update();  
        draw();  
    }  
}
```